

京都大学工学部 正員 白石成人

1. まえがき

一般土木構造物の耐風応答については、すでに数多くの研究者によって研究されてきた。とくに G. V. Parkinson, D. Smith 等^{1), 2)} は非線型流体力を静的実験から定め、これを振動応答に応用し、理論値と実験値が極めてよく一致することを示して注目された。著者はこれまで主として長大つり橋補剛筋についてその耐風特性の基礎的性質について考察してきたが、部分模型を用いての実験結果よりみて空気力の特性は線型応答では説明できないうちがあり、この点は R. Scanlan, Ali Sabzevari 等³⁾ の主張するように、空気力は非線型問題として研究すべき必要であると考えられる。非線型流体力は理論的考察が著しく困難であるが、まず第一段階として、これまで求めた実験結果を、理論的に求めた小さな非線型空気力との比較を試みたので、その結果を報告する。

2. タカミ回転二自由度振動系の耐風応答

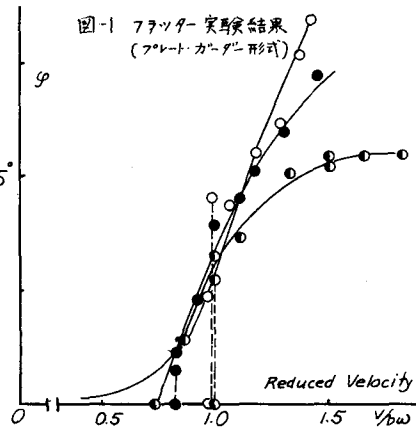
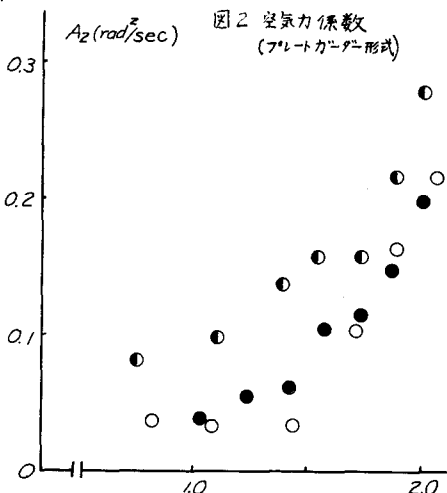
つり橋補剛筋等の耐風特性を検討するためにはしづレバ部分模型実験が行われるが、この場合通常空気力係数を計測するトラス振動実験が実施される。いま代表的な模型形状として、プレート・ガーダー模型とトラス形式模型についてその計測結果を示せば右図のようになる。すでに数多くの研究者によって指摘されていよう。左側にプレート・ガーダー形式は Reduced Velocity (V/bw) 1 ~ 3 で発振し、トラス形式では 4 ~ 7 で発振する。この場合、前者では風速の増加とともに漸次その定常振幅が増大するが、後者では発振風速の近傍で急激に共振中に達し、初期発振風速では定常振幅はほとんど求められず、これより低風速の所で定常状態が求められる。このことから、トラス形式では明らかに、或る風速での振幅ヒヤウ一括応答を示さないが、非線型効果の影響が存在するものと思われる。

空気力の計測は Scanlan, Sabzevari の自由振動法により、たゞ、この場合、たかみ正り、回転を ψ ; $w_1, w_2, \zeta_1, \zeta_2$ とおかれたり、回転に対する円周有効振動数、減衰常数と共に A_2 となす。

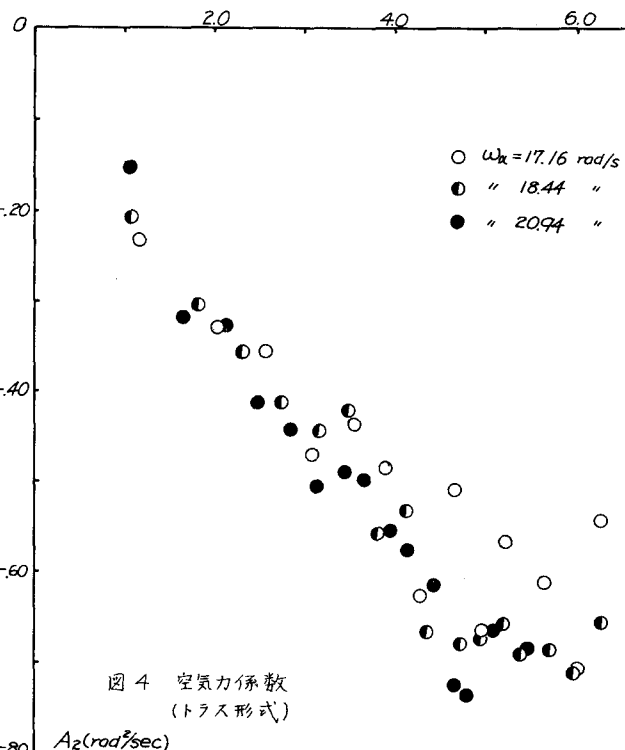
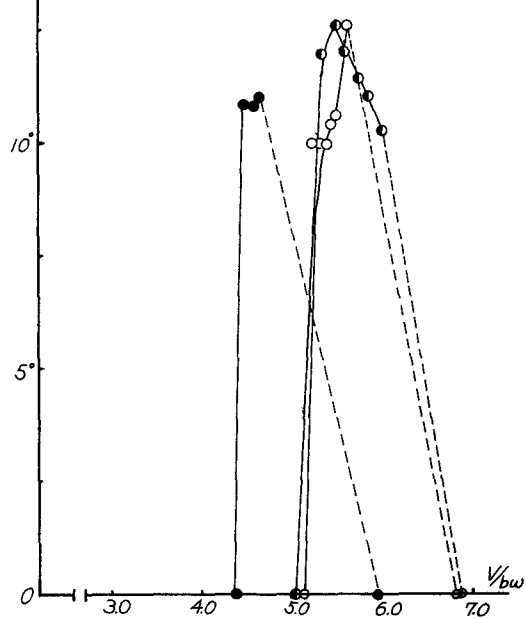
$$\ddot{\eta} + 2\zeta_1 w_1 \dot{\eta} + w_1^2 \eta = H_1 \dot{\eta} + H_2 \dot{\phi} + H_3 \phi$$

$$\ddot{\phi} + 2\zeta_2 w_2 \dot{\phi} + w_2^2 \phi = A_1 \dot{\eta} + A_2 \dot{\phi} + A_3 \phi$$

となる。

図-1 フラッタ実験結果
(プレート・ガーダー形式)図-2 空気力係数
(プレート・ガーダー形式)

90

図3 フラッタ実験図
(トラス形式)

ここで, H_i, A_i ($i=1, 2, 3$) は空気力係数である。プレート・ガーダー形式とトラス形式で最も特徴的に異るものは上記よりの空気力係数のうち A_2 の項であり、プレート・ガーダー形式では $A_2 > 0$ ト拉斯形式では $A_2 < 0$ であり、いかにも Theodorsen 関数を用いた平板に因る場合も $A_2 < 0$ となり、この通りすればト拉斯のような充実率の小さな補剛が「一」では平板とよく似た形式の空気力が作用するものと考えられる。左に実測結果を示すが、ト拉斯形式にて、床板中の 10% オスロットを入れた場合の結果を示しておこう。

3. 非線型空気力について

従来の実験結果より、いかにもフラッタ現象の解釈においては非線型空気力項が重要な因子となると考えられるが、いま、揚力を L , Pitching Moment を M (単位長あたり) とすれば、次のように展開が可能である。

$$\begin{aligned} L &= L(\eta, \dot{\eta}, \varphi, \dot{\varphi}) \\ &= H_1 \dot{\eta} + H_2 \dot{\varphi} + H_3 \varphi \\ &\quad + \dot{\eta}(h_{11}\dot{\eta}^2 + h_{12}\dot{\varphi}^2 + h_{13}\varphi^2 + h_{14}\dot{\varphi}\varphi + \dots) \\ &\quad + \dot{\varphi}(h_{21}\dot{\eta}^2 + h_{22}\dot{\varphi}^2 + h_{23}\varphi^2 + h_{24}\dot{\varphi}\varphi + \dots) \\ &\quad + \varphi(h_{31}\dot{\eta}^2 + h_{32}\dot{\varphi}^2 + h_{33}\varphi^2 + h_{34}\dot{\varphi}\varphi + \dots) \end{aligned}$$

$$\begin{aligned} M &= M(\eta, \dot{\eta}, \varphi, \dot{\varphi}) \\ &= A_1 \dot{\eta} + A_2 \dot{\varphi} + A_3 \varphi \\ &\quad + \dot{\eta}(a_{11}\dot{\eta}^2 + a_{12}\dot{\varphi}^2 + a_{13}\varphi^2 + a_{14}\dot{\varphi}\varphi + \dots) \\ &\quad + \dot{\varphi}(a_{21}\dot{\eta}^2 + a_{22}\dot{\varphi}^2 + a_{23}\varphi^2 + a_{24}\dot{\varphi}\varphi + \dots) \\ &\quad + \varphi(a_{31}\dot{\eta}^2 + a_{32}\dot{\varphi}^2 + a_{33}\varphi^2 + a_{34}\dot{\varphi}\varphi + \dots) \end{aligned}$$

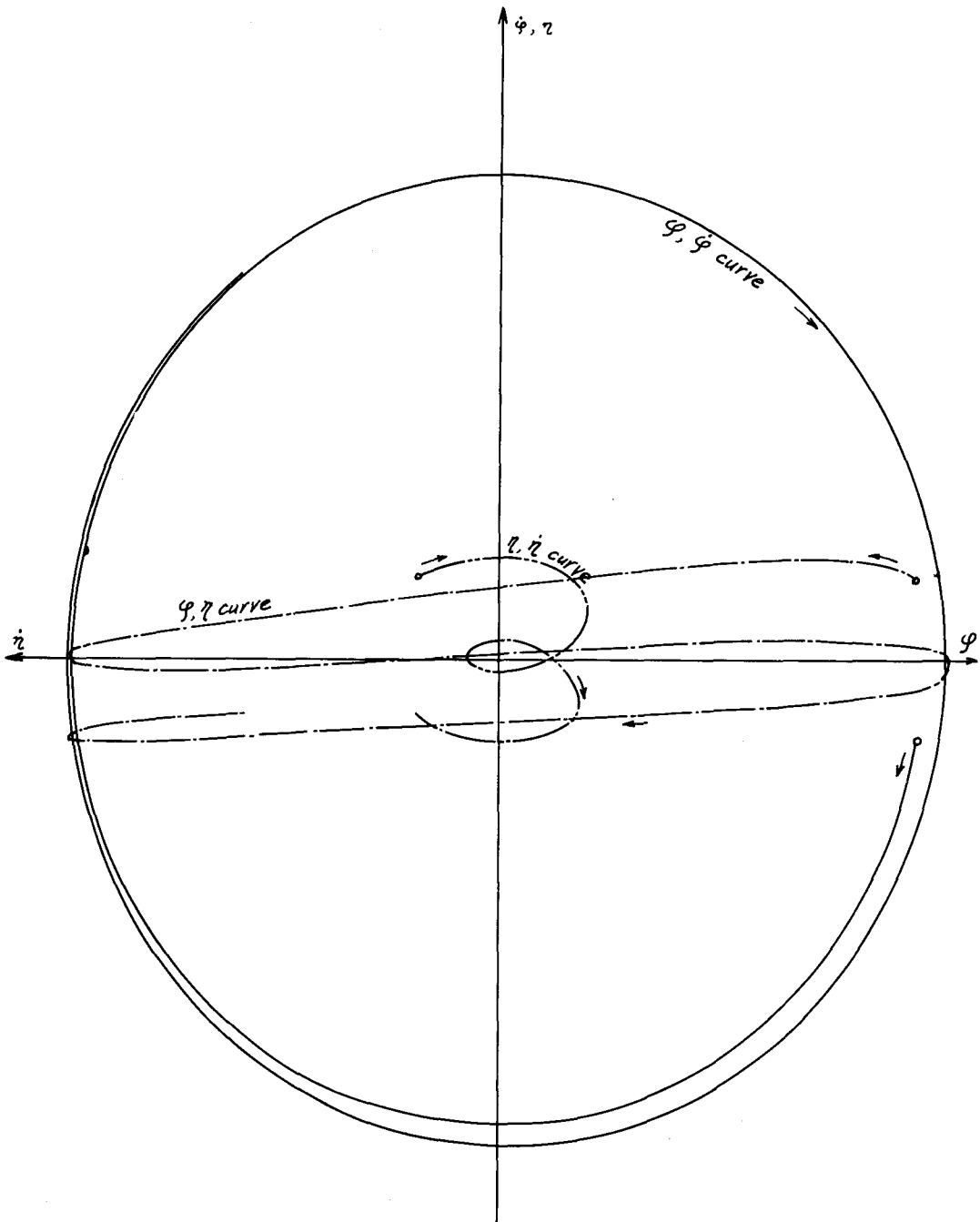


図-5 Phase Plane における作図例 (h_{33} を考慮した場合)

上記のようす一般的な非線型空気力係数を全て求めることは必ずしも必要ではないと思われる。いま、Theodorsen 関数によるとえられる空気力係数について考されれば、平板まわりの流れにおいて平板を横切る二点は、かつその上面の鉛直方向の速度成分と下面のそれとが等しくなり、また Kutta の条件を満足する速度ボテンシャルより求められていくから、ある回転変位 ψ に対して、鉛直方向の変位は $b \sin \psi$ となる。したがって、このようすが幾何学的条件を架橋した基礎方程式はオーバルのみでとれば、次のようすに与えられることになる。

$$\ddot{\eta} + 2\zeta_w w_n \dot{\eta} + w_n^2 \eta = H_1 \dot{\eta} + H_2 \dot{\phi} \left(1 - \frac{\phi^2}{2}\right) + H_3 \left(1 - \frac{\phi^2}{6}\right) \phi$$

$$\ddot{\phi} + 2\zeta_w w_n \dot{\phi} + w_n^2 \phi = A_1 \dot{\eta} + A_2 \dot{\phi} \left(1 - \frac{\phi^2}{2}\right) + A_3 \left(1 - \frac{\phi^2}{6}\right) \phi$$

これで、上記の非線型空気力の種別の場合にあたるが、一般に空気力係数 H_i は負であり、線型の傾向が太であると思われる。 A_j もまた安定した値となり、非線型の影響は小さいと思われる。 A_1 , H_2 , H_3 は連成項であり、一般にはその計算結果はかなりバラつくようであり、またトラスカのような安定した断面形ではかなり小さく、振動系の起因に対してはかなり小さいものと思われる。これらより、非線型空気力項として最も重要なものは、空気力係数 A_2 に関するものと考えるのが妥当である。簡単のために、 A_1 を無視し、 A_3 に関する非線型項を無視すれば、上の方程式は、

$$\frac{d\psi}{d\phi} = \frac{\{A_2 \left(1 - \frac{\phi^2}{2}\right) - 2\zeta_w w_n\} \phi - (w_n^2 - A_3) \phi}{\psi}$$

$$E = E_0, \quad \psi = \dot{\phi} \quad \text{とす。}$$

いま $A_2 - 2\zeta_w w_n > 0$ (アレート・ガーガー形式) で、 $\psi \rightarrow \text{small}$ とするば、 $\psi - \phi \approx 3$ Phase Plane の原点近傍の解軌道は不安定な spiral となるべく行進し、 $\psi \rightarrow \text{large}$ の領域では、

$$\frac{d\psi}{d\phi} = - \frac{(w_n^2 - A_3) \phi}{\psi} - \frac{A_2 \phi^2}{2}$$

となり、これは右図に示すように安定な解軌道となり、ある振巾での Limit Cycle の存在が考えられる。トラス形式では、逆に小振巾で不安定、大振巾で安定となる。これらの考察は従来の実験結果と一致するものであるが、さうに詳細な計算結果は当日報告する予定である。

文献

- 1) G. V. Parkinson & J. D. Smith : Jnl Applied Mechanics vol. 29, 1962. pp 444 - 445
- 2) G. V. Parkinson & J. D. Smith : Quart. Jnl. Mech. & Applied Math., vol 27, Pt 2, 1964
- 3) R. Scanlan & Ali Sabzevari : ASCE Str. Eng'g Conf. / Seattle, Washington, May, 1967
- 4) R. Scanlan & Rosenbaum : Introduction to the Study of Aircraft Vibration & Flutter Macmillan, pp 382 - 397

